

**Inelastic scattering 2000BuZY**

Type	Author	History Citation	Literature Cutoff Date
Full Evaluation	E. Browne	NDS 107, 2579 (2006)	1-Nov-2004

- <sup>232</sup>Th(<sup>86</sup>Kr,<sup>86</sup>Kr') E=511 MeV; <sup>232</sup>Th(<sup>56</sup>Fe,<sup>56</sup>Fe') E=362 MeV. Measured E<sub>γ</sub>, I<sub>γ</sub>, γ(θ). Deduced γ-ray multipolarities, level J<sup>π</sup> (2000BuZY).
- <sup>232</sup>Th(e,e'F) E(e)=7-65 MeV. Angular distribution following dipole absorption measured (1979As02).
- <sup>232</sup>Th(n,n') E(n)=3.4 MeV. Optical-model parameters deduced. g.s. band through 6<sup>+</sup> level excited; β(2)=0.190, β(4)=0.071 deformations deduced (1978HaYS). E(n)=950-2100 keV; FWHM≤15 keV. Cross sections for (n,n') compared to (n,n'γ). See (n,n'γ) for results pertaining to excited states in <sup>232</sup>Th (1985Ci05).
- <sup>232</sup>Th(d,d') E(d)=18-23 MeV polarized deuterons. g.s. band 0<sup>+</sup> through 6<sup>+</sup> level excited; Q=-2.4 4, moment E4=-3.0 8 deduced prolate-rotor model (1982Ci01,1982Ci03).
- <sup>232</sup>Th(<sup>3</sup>He,<sup>3</sup>He') E(<sup>3</sup>He)=108.5 MeV. Scattering at small angles measured, giant-monopole resonance studied. E(monopole)=13.35 MeV 4 Γ(res)=2.3 MeV 4, 72% of energy weighted sum-rule observed (1980Bu16).
- <sup>232</sup>Th(p,p') E(p)=35 MeV. Magnetic spectrograph, FWHM=15 keV, angular distribution. g.s. band through 10<sup>+</sup> level observed, higher states excitation pattern similar to (d,d'). Deformed optical-model potential used, deformation parameters deduced: β(2)=0.202 2, β(4)=0.068 1, β(6)=0.009 2 (1979Ki14,1981Ro09).
- <sup>232</sup>Th(p,p') polarized protons E(p)=65 MeV. σ(θ), analyzing power measured for g.s. band through 6<sup>+</sup> level. Multipole moments of the deformed optical potential deduced (1986Ta12).
- <sup>232</sup>Th(p,p'), E=20-65 MeV, deduced deformation parameter (20004Su12).
- <sup>232</sup>Th(α,α') E(α)=50 MeV. Magnetic spectrograph, angular distribution. g.s. band through 8<sup>+</sup> level measured. Coupled-channels analysis, deformation parameters deduced: β(2)=0.183 11, β(4)=0.049 6 (1976Da17), β(6) is negative (1979Es06).
- <sup>232</sup>Th(<sup>17</sup>O,<sup>17</sup>O'), E=1435 MeV, measured cross-section of fission fragments (1994Ca02).
- <sup>232</sup>Th(<sup>17</sup>O,<sup>17</sup>O'), E=3360 MeV (1990CaZX).

<sup>232</sup>Th Levels

E(level) <sup>†</sup>	J <sup>π</sup> <sup>†</sup>	E(level) <sup>†</sup>	J <sup>π</sup> <sup>†</sup>	E(level) <sup>†</sup>	J <sup>π</sup> <sup>†</sup>	E(level) <sup>†</sup>	J <sup>π</sup> <sup>†</sup>
0 <sup>‡</sup>	0 <sup>+</sup>	883.6 <sup>#</sup>	5 <sup>-</sup>	2101.7 <sup>#</sup>	15 <sup>-</sup>	3619.6 <sup>‡</sup>	24 <sup>+</sup>
49.4 <sup>‡</sup>	2 <sup>+</sup>	1042.9 <sup>#</sup>	7 <sup>-</sup>	2262.9 <sup>‡</sup>	18 <sup>+</sup>	4050.2 <sup>#</sup>	25 <sup>-</sup>
162.1 <sup>‡</sup>	4 <sup>+</sup>	1137.1 <sup>‡</sup>	12 <sup>+</sup>	2445.4 <sup>#</sup>	17 <sup>-</sup>	4116.2 <sup>‡</sup>	26 <sup>+</sup>
333.2 <sup>‡</sup>	6 <sup>+</sup>	1249.6 <sup>#</sup>	9 <sup>-</sup>	2691.5 <sup>‡</sup>	20 <sup>+</sup>	4506 <sup>#</sup>	(27 <sup>-</sup> )
556.9 <sup>‡</sup>	8 <sup>+</sup>	1482.8 <sup>‡</sup>	14 <sup>+</sup>	2813.2 <sup>#</sup>	19 <sup>-</sup>	4631.8 <sup>‡</sup>	(28 <sup>+</sup> )
714.2 <sup>#</sup>	1 <sup>-</sup>	1498.8 <sup>#</sup>	11 <sup>-</sup>	3144.2 <sup>‡</sup>	22 <sup>+</sup>	5162 <sup>‡</sup>	(30 <sup>+</sup> )
774.4 <sup>#</sup>	3 <sup>-</sup>	1784.8 <sup>#</sup>	13 <sup>-</sup>	3203.8 <sup>#</sup>	21 <sup>-</sup>		
827.0 <sup>‡</sup>	10 <sup>+</sup>	1858.6 <sup>‡</sup>	16 <sup>+</sup>	3616.4 <sup>#</sup>	23 <sup>-</sup>		

<sup>†</sup> From 2000BuZY.

<sup>‡</sup> Band(A): K<sup>π</sup>=0<sup>+</sup> g.s. rotational band.

<sup>#</sup> Band(B): K<sup>π</sup>=0<sup>-</sup> rotational band.

γ(<sup>232</sup>Th)

E <sub>γ</sub> <sup>†</sup>	E <sub>i</sub> (level)	J <sub>i</sub> <sup>π</sup>	E <sub>f</sub>	J <sub>f</sub> <sup>π</sup>	Mult. <sup>‡</sup>	E <sub>γ</sub> <sup>†</sup>	E <sub>i</sub> (level)	J <sub>i</sub> <sup>π</sup>	E <sub>f</sub>	J <sub>f</sub> <sup>π</sup>	Mult. <sup>‡</sup>
49.4	49.4	2 <sup>+</sup>	0	0 <sup>+</sup>	E2	243.1	2101.7	15 <sup>-</sup>	1858.6	16 <sup>+</sup>	
112.7	162.1	4 <sup>+</sup>	49.4	2 <sup>+</sup>	E2	249.0	1498.8	11 <sup>-</sup>	1249.6	9 <sup>-</sup>	E2
159.2	1042.9	7 <sup>-</sup>	883.6	5 <sup>-</sup>	E2	269.8	827.0	10 <sup>+</sup>	556.9	8 <sup>+</sup>	E2
171.1	333.2	6 <sup>+</sup>	162.1	4 <sup>+</sup>	E2	285.9	1784.8	13 <sup>-</sup>	1498.8	11 <sup>-</sup>	E2
206.8	1249.6	9 <sup>-</sup>	1042.9	7 <sup>-</sup>	E2	302.5	1784.8	13 <sup>-</sup>	1482.8	14 <sup>+</sup>	
223.7	556.9	8 <sup>+</sup>	333.2	6 <sup>+</sup>	E2	310.2	1137.1	12 <sup>+</sup>	827.0	10 <sup>+</sup>	E2

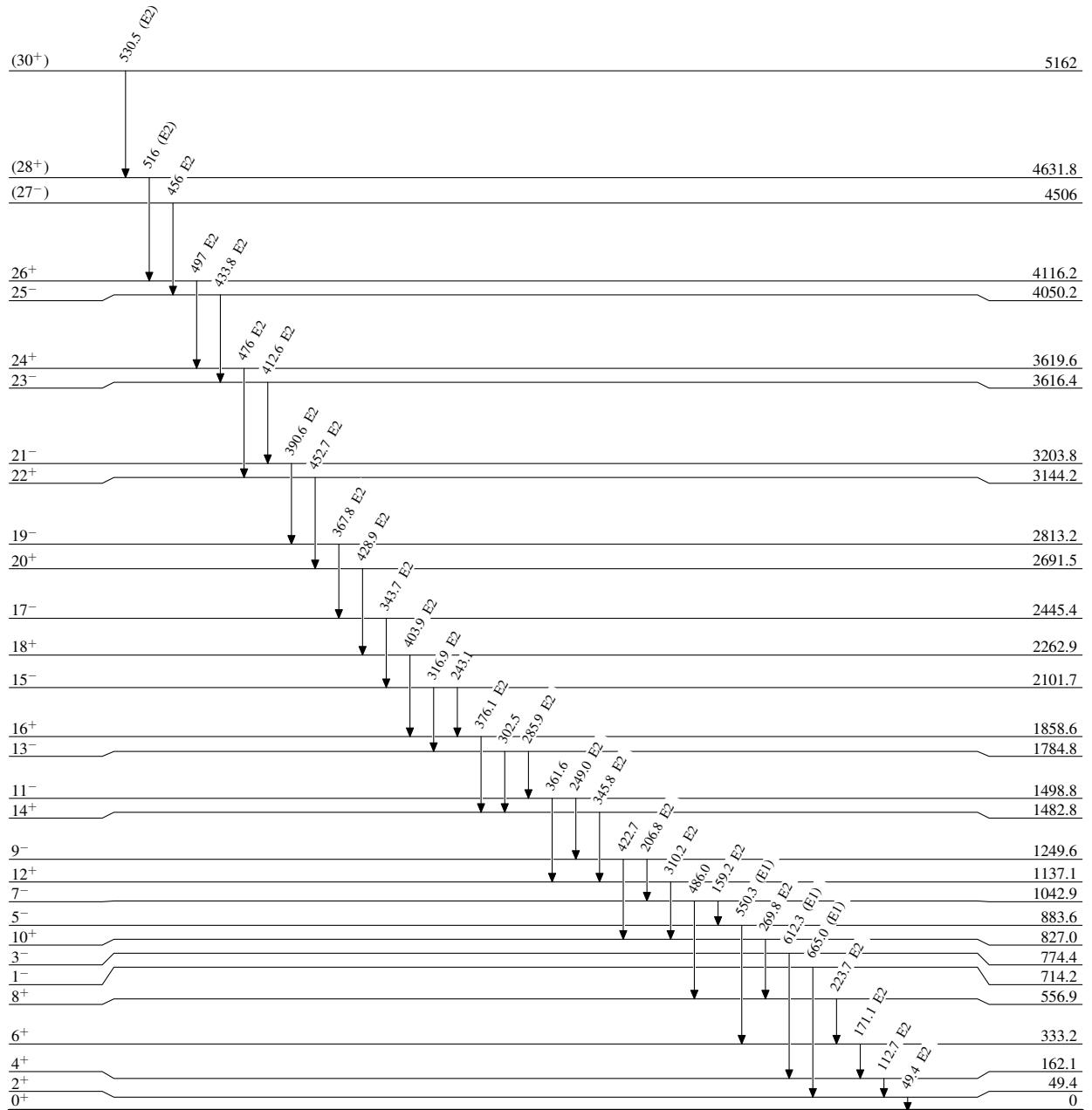
Continued on next page (footnotes at end of table)

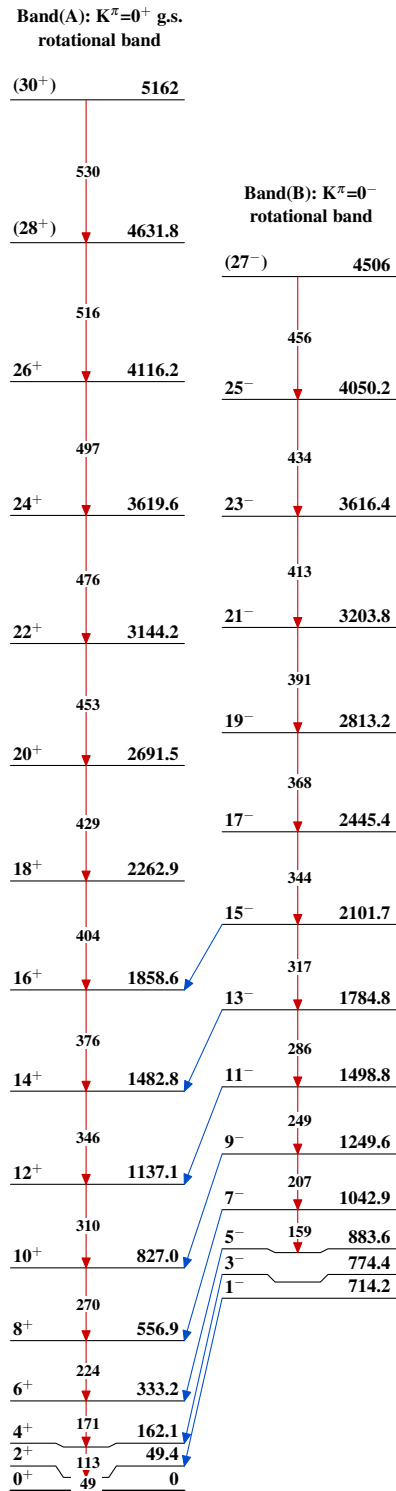
**Inelastic scattering 2000BuZY (continued)** $\gamma(^{232}\text{Th})$  (continued)

<u><math>E_\gamma</math><sup>†</sup></u>	<u><math>E_i(\text{level})</math></u>	<u><math>J_i^\pi</math></u>	<u><math>E_f</math></u>	<u><math>J_f^\pi</math></u>	<u>Mult.<sup>‡</sup></u>	<u><math>E_\gamma</math><sup>†</sup></u>	<u><math>E_i(\text{level})</math></u>	<u><math>J_i^\pi</math></u>	<u><math>E_f</math></u>	<u><math>J_f^\pi</math></u>	<u>Mult.<sup>‡</sup></u>
316.9	2101.7	15 <sup>-</sup>	1784.8	13 <sup>-</sup>	E2	433.8	4050.2	25 <sup>-</sup>	3616.4	23 <sup>-</sup>	E2
343.7	2445.4	17 <sup>-</sup>	2101.7	15 <sup>-</sup>	E2	452.7	3144.2	22 <sup>+</sup>	2691.5	20 <sup>+</sup>	E2
345.8	1482.8	14 <sup>+</sup>	1137.1	12 <sup>+</sup>	E2	456	4506	(27 <sup>-</sup> )	4050.2	25 <sup>-</sup>	E2
361.6	1498.8	11 <sup>-</sup>	1137.1	12 <sup>+</sup>	E2	476	3619.6	24 <sup>+</sup>	3144.2	22 <sup>+</sup>	E2
367.8	2813.2	19 <sup>-</sup>	2445.4	17 <sup>-</sup>	E2	486.0	1042.9	7 <sup>-</sup>	556.9	8 <sup>+</sup>	
376.1	1858.6	16 <sup>+</sup>	1482.8	14 <sup>+</sup>	E2	497	4116.2	26 <sup>+</sup>	3619.6	24 <sup>+</sup>	E2
390.6	3203.8	21 <sup>-</sup>	2813.2	19 <sup>-</sup>	E2	516	4631.8	(28 <sup>+</sup> )	4116.2	26 <sup>+</sup>	(E2)
403.9	2262.9	18 <sup>+</sup>	1858.6	16 <sup>+</sup>	E2	530.5	5162	(30 <sup>+</sup> )	4631.8	(28 <sup>+</sup> )	(E2)
412.6	3616.4	23 <sup>-</sup>	3203.8	21 <sup>-</sup>	E2	550.3	883.6	5 <sup>-</sup>	333.2	6 <sup>+</sup>	(E1)
422.7	1249.6	9 <sup>-</sup>	827.0	10 <sup>+</sup>		612.3	774.4	3 <sup>-</sup>	162.1	4 <sup>+</sup>	(E1)
428.9	2691.5	20 <sup>+</sup>	2262.9	18 <sup>+</sup>	E2	665.0	714.2	1 <sup>-</sup>	49.4	2 <sup>+</sup>	(E1)

<sup>†</sup> From 2000BuZY.

<sup>‡</sup> From Adopted Gammas; mostly from  $\gamma(\theta)$  in Coulomb Excitation.

**Inelastic scattering 2000BuZY**Level Scheme $^{232}\text{Th}_{142}$

**Inelastic scattering 2000BuZY** $^{232}_{90}\text{Th}_{142}$